

W11. Elektrodynamika – pole elektryczne i magnetyczne w ośrodkach

Plan wykładu:

- przenikalność dielektryczna i magnetyczna
- polaryzacja dielektryka, ładunek polaryzacyjny objętościowy i powierzchniowy
- zmiany wektorów E i D na granicy ośrodków
- metoda obrazów dla dielektryka

Dotychczas rozważaliśmy **ośrodek izotropowy** jakim jest próżnia.

W sposób **niejawny** użyliśmy liniowych zależności

pomiędzy E i D:

$$\vec{D} = \varepsilon \varepsilon_0 \vec{E} \quad \varepsilon - \text{przenikalność dielektryczna ośrodka}$$

oraz pomiędzy B i H:

$$\vec{B} = \mu \mu_0 \vec{H} \quad \mu - \text{przenikalność magnetyczna ośrodka}$$

W ośrodkach izotropowych wektory E i D oraz B i H są równoległe.

Natomiast w ośrodkach anizotropowych związki te są nadal liniowe, ale wektory te nie są równoległe

$$D_i = \varepsilon_0 \sum_{j=1}^3 \varepsilon_{i,j} E_j$$

$$B_i = \mu_0 \sum_{j=1}^3 \mu_{i,j} H_j$$

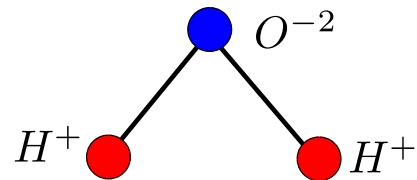
- przenikalność dielektryczna i magnetyczna stają się wielkościami tensorowymi

Polaryzacja dielektryka

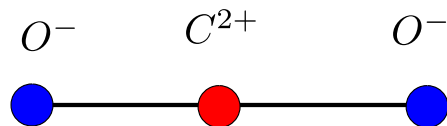
Kilka własności:

- dielektryk nie posiada ładunku swobodnego – pole elektryczne nie jest całkowicie kompensowane
- pole elektryczne wnika do dielektryka i oddziałuje z atomami i cząsteczkami
- cząsteczki mogą charakteryzować się spontaniczną polaryzacją (posiadają elektryczny moment dipolowy) co jest konsekwencją przeniesienia części ładunku pomiędzy atomami cząsteczki ze względu na asymetrię wiązań

Cząsteczka H_2O

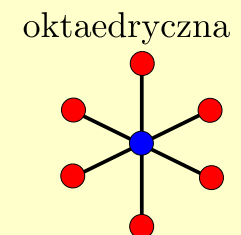
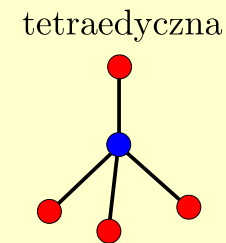
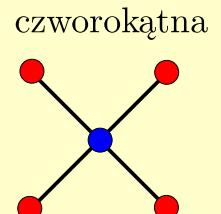
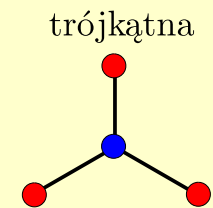
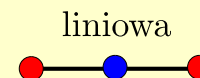


Cząsteczka CO_2 (brak momentu dipolowego)



- moment dipolowy może być indukowany polem elektrycznym

Cząsteczki nie posiadające momentu dipolowego.
Symetria:



Moment dipolowy może być indukowany polem elektrycznym, wówczas będzie on zależny od kierunku i wartości E

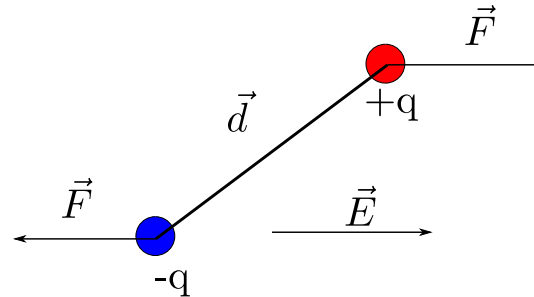
$$\vec{p} = \alpha \vec{E}$$

Siła elektryczna działająca na dipol zeruje się

$$\vec{F}_+ = +q \vec{E}$$

$$\vec{F}_- = -q \vec{E}$$

$$\vec{F} = \vec{F}_+ + \vec{F}_- = 0$$



Nie znika moment siły

$$\vec{N} = \vec{d} \times \vec{F} = \vec{p} \times \vec{E} \neq 0$$

co oznacza że dipole będą starały się ustawić równoległe do pola E

Polaryzacja elektryczna P – określa wielkość momentu dipolowego na jednostkę objętości. Można ją traktować jako miarę uporządkowania dipoli w przestrzeni.

- chaotyczny rozkład da $P=0$
- uporządkowany rozkład dipoli (zgodne zwroty) da $P=\max$

Polaryzacja dielektryka stanowi źródło (wewnętrzne) pola elektrycznego. Wewnętrzna pole E będzie skierowane przeciwnie do pola zewnętrznego (wystąpi **częściowa kompensacja**).

Potencjał wytwarzany przez pojedynczy dipol

$$V(\vec{r}) = \frac{1}{4\pi\epsilon_0} \frac{\vec{r} \cdot \vec{p}}{r^3}$$

Założmy że rozkład momentu dipolowego jest ciągły w przestrzeni
(**uzasadnienie: rozpatrujemy dużą liczbę blisko siebie położonych atomów**)

$$\vec{p} = \vec{P}(\vec{r})dV \quad \text{P - polaryzacja}$$

Zgodnie z zasadą superpozycji dostajemy

$$V(\vec{r}) = \frac{1}{4\pi\epsilon_0} \int_V \frac{(\vec{r} - \vec{r}') \cdot \vec{P}(\vec{r}')}{|\vec{r} - \vec{r}'|^3} d^3r'$$

wykorzystujemy relację $\nabla \frac{1}{r} = -\frac{\vec{r}}{r^3}$

$$V(\vec{r}) = \frac{1}{4\pi\epsilon_0} \int_V \vec{P}(\vec{r}') \nabla_{r'} \frac{1}{|\vec{r} - \vec{r}'|} d^3r'$$

Wykorzystajmy wzór na pochodną iloczynu

$$\nabla_{r'} \frac{\vec{P}(\vec{r}')}{|\vec{r} - \vec{r}'|} = \vec{P}(\vec{r}') \cdot \nabla_{r'} \frac{1}{|\vec{r} - \vec{r}'|} + \frac{1}{|\vec{r} - \vec{r}'|} \nabla_{r'} \cdot \vec{P}(\vec{r}')$$

$$V(\vec{r}) = \frac{1}{4\pi\epsilon_0} \left(\int_V \nabla_{r'} \frac{\vec{P}(\vec{r}')}{|\vec{r} - \vec{r}'|} d^3r' - \int_V \frac{1}{|\vec{r} - \vec{r}'|} \nabla_{r'} \cdot \vec{P}(\vec{r}') d^3r' \right)$$

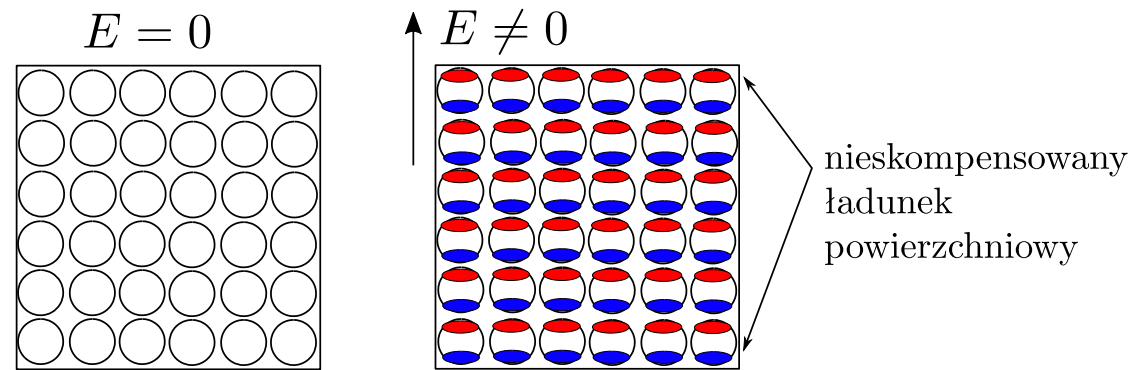
oraz tw. Gaussa-Ostrogradskiego (w pierwszej całce)

$$\begin{aligned} V(\vec{r}) &= \frac{1}{4\pi\epsilon_0} \left(\oint_{\Sigma} \frac{\vec{P}(\vec{r}')}{|\vec{r} - \vec{r}'|} \cdot d\vec{s} - \int_V \frac{1}{|\vec{r} - \vec{r}'|} \nabla_{r'} \cdot \vec{P}(\vec{r}') d^3r' \right) \\ &= \frac{1}{4\pi\epsilon_0} \left(\oint_{\Sigma} \frac{\sigma_{zw}(\vec{r}')}{|\vec{r} - \vec{r}'|} ds - \int_V \frac{\rho_{zw}(\vec{r}')}{|\vec{r} - \vec{r}'|} d^3r' \right) \end{aligned}$$

$$\sigma_{zw} = \vec{P} \cdot \vec{n} \quad \text{- ładunek związany na powierzchni dielektryka}$$

$$\rho_{zw}(\vec{r}) = -\nabla \cdot \vec{P}(\vec{r}) \quad \text{- ładunek związany wewnątrz dielektryka}$$

- dla E brak polaryzacji/momentu dipolowego
- dla $E > 0$, atomy/cząsteczki polaryzują się, elektrony nieznacznie przesuwają się w przestrzeni, na powierzchni dolnej i górnej pojawia się nieskompensowany ładunek



Wypadkowe pole elektryczne

Założmy że w dielektryku zgromadziliśmy ładunek swobodny ρ_{sw} (np. elektrony w pasmie przewodnictwa pochodzą ze zjonizowanych domieszek donorowych)

Możemy określić całkowity ładunek

$$\rho(\vec{r}) = \rho_{sw}(\vec{r}) + \rho_{zw}(\vec{r})$$

i na podstawie prawa Maxwella (dla próżni)

$$\epsilon_0 \nabla \cdot \vec{E} = \rho = \rho_{sw} + \rho_{zw} = \rho_{sw} - \nabla \cdot \vec{P}$$

całkowite (wypadkowe) pole elektryczne

Po przekształceniu otrzymamy

$$\nabla \cdot (\varepsilon_0 \vec{E} + \vec{P}) = \rho_{sw}$$

co po porównaniu z relacją

$$\nabla \cdot \vec{D} = \rho_{sw}$$

proceedzi do związku

$$\vec{D} = \varepsilon_0 \vec{E} + \vec{P}$$

w wyniku reakcji ośrodka na pole E, wektor indukcji D zostanie powiększony o wektor polaryzacji w stosunku do wartości w próżni

Dielektryki liniowe

Jeśli związek P z E jest liniowy

$$\vec{P} = \chi_e \varepsilon_0 \vec{E}$$

χ_e - podatność elektryczna ośrodka (wielkość bezwymiarowa)

to takie dielektryki nazywamy **dielektrykami liniowymi**

$$\vec{D} = \varepsilon_0 \vec{E} + \vec{P} = \varepsilon_0 \vec{E} + \chi_e \varepsilon_0 \vec{E} = (1 + \chi_e) \varepsilon_0 \vec{E} = \varepsilon \varepsilon_0 \vec{E}$$

$$\vec{D} = \varepsilon \varepsilon_0 \vec{E}$$

Bezwymiarowy parametr ε nazywamy przenikalnością względną ośrodka.

$$\varepsilon = 1 + \chi_e$$

próżnia $\varepsilon=1$, papier $\varepsilon=1.4$, szkło $\varepsilon=3.7-10$, krzem $\varepsilon=11.68$, woda $\varepsilon\sim 80$,

BaTiO_3 $\varepsilon=1200 - 10^4$, $\text{CaCu}_3\text{Ti}_4\text{O}_{12}$ $\varepsilon > 2,5 \cdot 10^5$

Oprócz dielektryków liniowych istnieją

- paraelektryki (zależność $P(E)$ nieliniowa bez histerezy)
- ferroelektryki (zależność $P(E)$ nieliniowa z histerezą \rightarrow spontaniczna polaryzacja dla $E=0$)

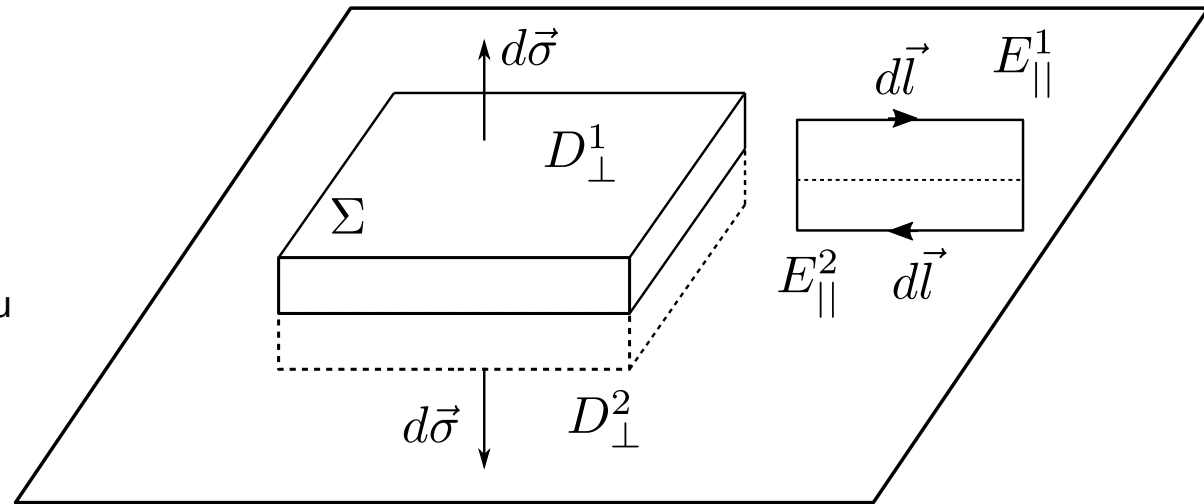
Zmiany wektorów pól E i D na granicy ośrodków

Zakładając brak swobodnego ładunku powierzchniowego ($\rho_{sw}=0$), z równania Maxwella

$$\oint_{\Sigma} \vec{D} \cdot d\vec{\sigma} = q$$

otrzymamy ciągłość wektora D w kierunku normalnym do powierzchni

$$D_{\perp}^1 d\sigma - D_{\perp}^2 d\sigma = 0$$



Możemy także rozważyć składową równoległą do powierzchni

$$\oint_C \vec{E} \cdot d\vec{l} = \frac{d}{dt} \iint_S \vec{B} \cdot d\vec{\sigma}$$

co dla pól statycznych daje zależność składowej równoległej wektora E

$$E_{\parallel}^1 dl - E_{\parallel}^2 dl = 0$$

składowa równoległa jest ciągła

$$E_{\parallel}^1 = E_{\parallel}^2$$

Zależność

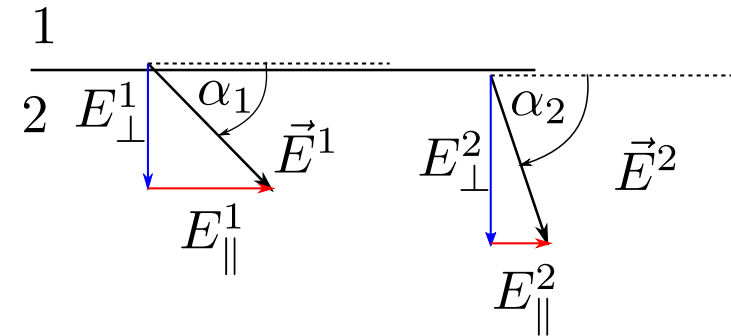
$$D_{\perp}^1 = D_{\perp}^2$$

możemy wyrazić za pomocą przenikalności względnej

$$\varepsilon_1 E_{\perp}^1 = \varepsilon_2 E_{\perp}^2$$

$$E_{\perp}^1 = \frac{\varepsilon_2}{\varepsilon_1} E_{\perp}^2$$

- jeśli $\varepsilon_2 > \varepsilon_1$ to pole E w ośrodku (2) jest słabsze niż w ośrodku (1)



Ponieważ w obu ośrodkach istnieją inne relacje pomiędzy składowymi, na granicy ośrodków następuje zmiana kierunku pola E

$$\operatorname{tg} \alpha_1 = \frac{E_{\perp}^1}{E_{\parallel}^1} = \frac{\varepsilon_2}{\varepsilon_1} \frac{E_{\perp}^2}{E_{\parallel}^2} = \frac{\varepsilon_2}{\varepsilon_1} \operatorname{tg} \alpha_2$$

Metoda obrazów dla dielektryka

Dwa obszary o stałych ε_1 i ε_2 przylegają do siebie, w obszarze (1) na wysokości z znajduje się ładunek punktowy q .

Jaki jest rozkład potencjału w przestrzeni?

Musimy zatem znaleźć rozwiązanie równania Poissona w obszarach (1) i (2)

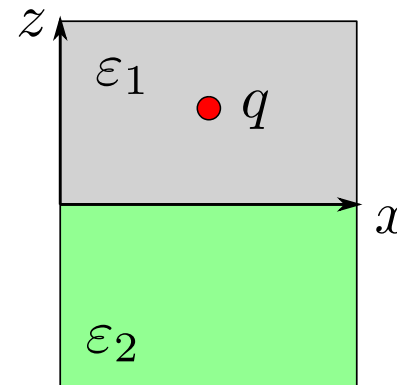
$$\varepsilon_1 \nabla \cdot \vec{E} = \rho, \quad z > 0$$

$$\varepsilon_2 \nabla \cdot \vec{E} = 0, \quad z < 0$$

z warunkami brzegowymi

$$D_{\perp}^{(1)} = D_{\perp}^{(2)}$$

$$E_{\parallel}^{(1)} = E_{\parallel}^{(2)}$$



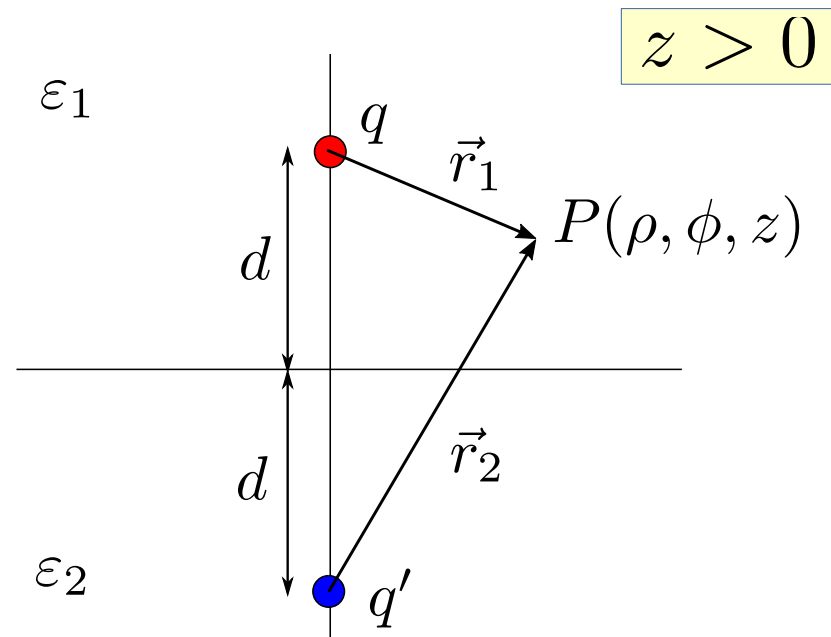
Rozwiązanie w obszarze (1)

$$\phi^{(1)} = \frac{1}{4\pi\epsilon_0\epsilon_1} \left(\frac{q}{r_1} + \frac{q'}{r_2} \right), \quad z > 0$$

Wprowadzamy współrzędne walcowe (zgodne z symetrią układu)

$$r_1 = \sqrt{\rho^2 + (z - d)^2}$$

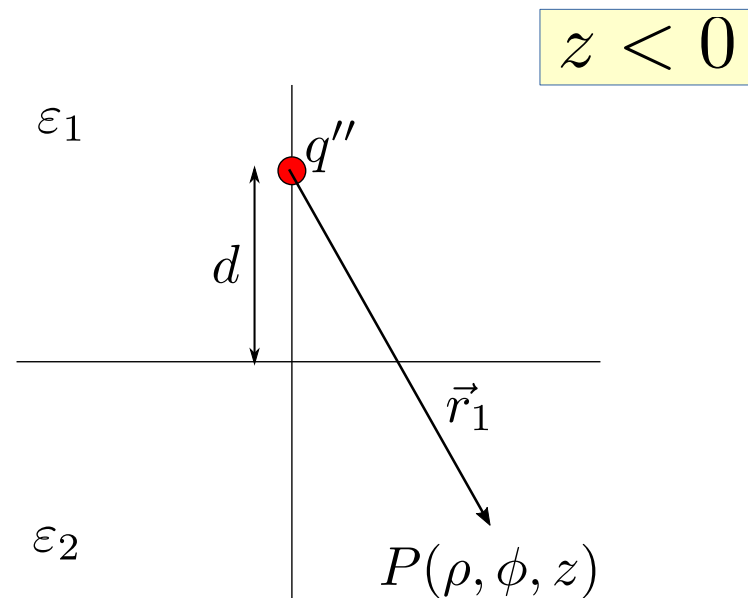
$$r_2 = \sqrt{\rho^2 + (z + d)^2}$$



Rozwiązanie w obszarze (2) pochodzi od zrenormalizowanego ładunku umieszczonego w obszarze (1)

(w obszarze 2 nie ma ładunku rzeczywistego)

$$\phi^{(2)} = \frac{1}{4\pi\epsilon_0\epsilon_2} \frac{q''}{r_1}, \quad z < 0$$



Musimy wyznaczyć q' i q'' . Korzystamy ze związków

$$\varepsilon_1 E_z^{(1)} = \varepsilon_2 E_z^{(2)}$$

$$E_\rho^{(1)} = E_\rho^{(2)}$$

które są słuszne dla $z=0$

$$\varepsilon_1 E_z^{(1)} = -\varepsilon_1 \left. \frac{\partial \phi^{(1)}}{\partial z} \right|_{z=0} = \frac{1}{4\pi\varepsilon_0} \frac{(q' - q)d}{(\rho^2 + d^2)^{\frac{3}{2}}}$$

$$\varepsilon_2 E_z^{(2)} = -\varepsilon_2 \left. \frac{\partial \phi^{(2)}}{\partial z} \right|_{z=0} = \frac{1}{4\pi\varepsilon_0} \frac{-q''d}{(\rho^2 + d^2)^{\frac{3}{2}}}$$

z pierwszej zależności dostaniemy

$$q - q' = q''$$

Dla składowych równoległych

$$E_{\rho}^{(1)} = - \left. \frac{\partial \phi^{(1)}}{\partial \rho} \right|_{z=0} = \frac{1}{4\pi\epsilon_0} \frac{q + q'}{\epsilon_1} \frac{\rho}{(\rho^2 + d^2)^{\frac{3}{2}}}$$

$$E_{\rho}^{(2)} = - \left. \frac{\partial \phi^{(2)}}{\partial \rho} \right|_{z=0} = \frac{1}{4\pi\epsilon_0} \frac{q''}{\epsilon_2} \frac{\rho}{(\rho^2 + d^2)^{\frac{3}{2}}}$$

dostajemy drugi warunek

$$\frac{q + q'}{\epsilon_1} = \frac{q''}{\epsilon_2}$$

Po rozwiązaniu układu równań otrzymujemy

$$q' = \frac{\epsilon_1 - \epsilon_2}{\epsilon_1 + \epsilon_2} q$$

obraz widziany od strony ładunku q

$$q'' = \frac{2\epsilon_2}{\epsilon_1 + \epsilon_2} q$$

zrenormalizowany ładunek widziany od strony materiału (2)

Rozważmy dwa przypadki na interfejsie dielektryk-próżnia

$$q' = \frac{\epsilon_1 - \epsilon_2}{\epsilon_1 + \epsilon_2} q \quad q'' = \frac{2\epsilon_2}{\epsilon_1 + \epsilon_2} q$$

1) ładunek q umieszczamy nad powierzchnią GaAs

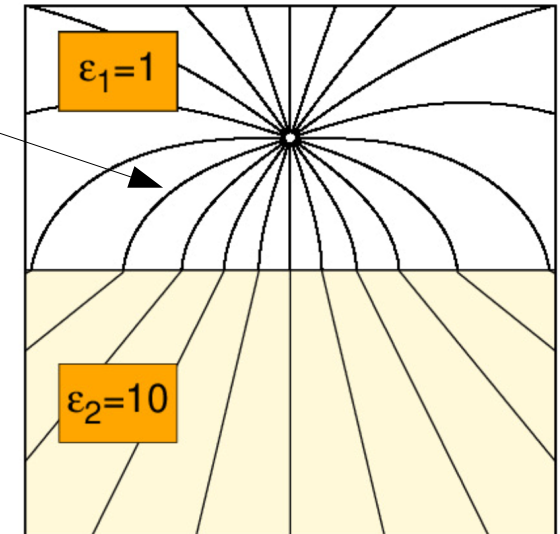
$$\epsilon_1 = 1 \quad (\text{vacuum})$$

$$\epsilon_2 = 12.9 \quad (\text{GaAs})$$

$$q' = -0.86 \quad \text{- ładunek } q \text{ jest przyciągany}$$

$$q'' = 1.87 \quad \text{- renormalizacja ładunku widzianego w GaAs}$$

linie zakrzywiają się jak dla dipola



2) ładunek q umieszczamy pod powierzchnią GaAs (zamieniamy stałe dielektryczne)

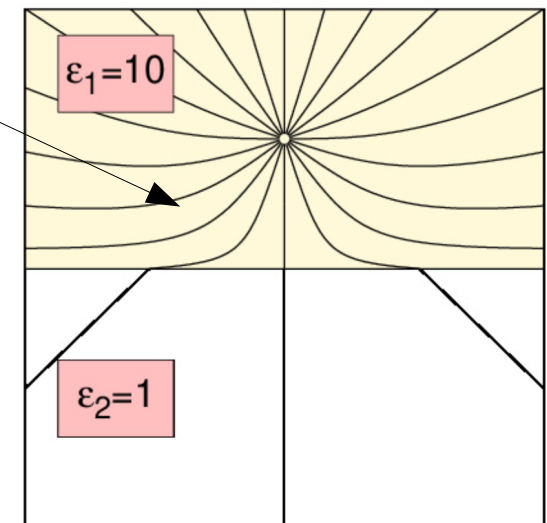
$$\epsilon_1 = 12.9 \quad (\text{GaAs})$$

$$\epsilon_2 = 1 \quad (\text{vacuum})$$

$$q' = +0.86 \quad \text{- ładunek } q \text{ jest odpychany przez obraz}$$

$$q'' = 0.14 \quad \text{- renormalizacja ładunku widzianego w próżni}$$

linie zakrzywiają się jak dla ładunków jednoimiennych



Związek pomiędzy polaryzacją \vec{P} i ładunkiem związanym

$$\rho_{zw} = -\nabla \cdot \vec{P}$$

oraz związek pomiędzy \vec{P} i \vec{E}

$$\vec{P} = \chi_e \epsilon_0 \vec{E}$$

daje zależność (poza punktem w którym jest umieszczony ładunek q)

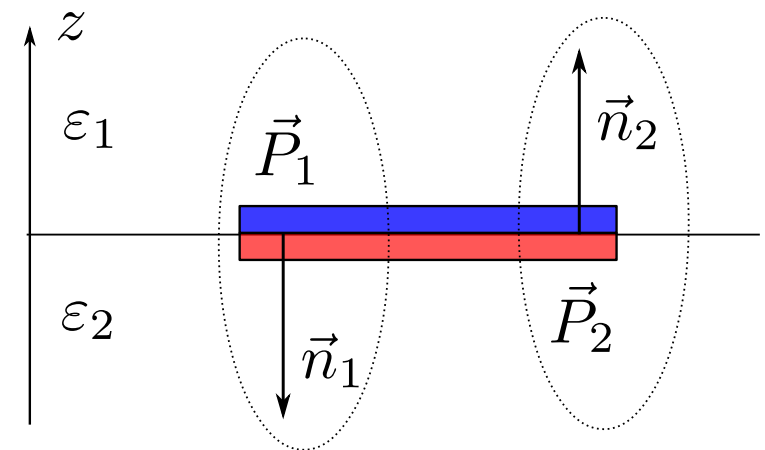
$$-\chi_e \epsilon_0 \nabla \cdot \vec{E} = 0 \quad - \text{brak objętościowego ładunku związanego (polaryzacyjnego)}$$

Ale na granicy ośrodków pojawia się skokowa zmiana podatności elektrycznej

$$\Delta\chi = \chi_2 - \chi_1 \neq 0$$

lokalizuje się tam ładunek polaryzacyjny
(po obu stronach interfejsu)

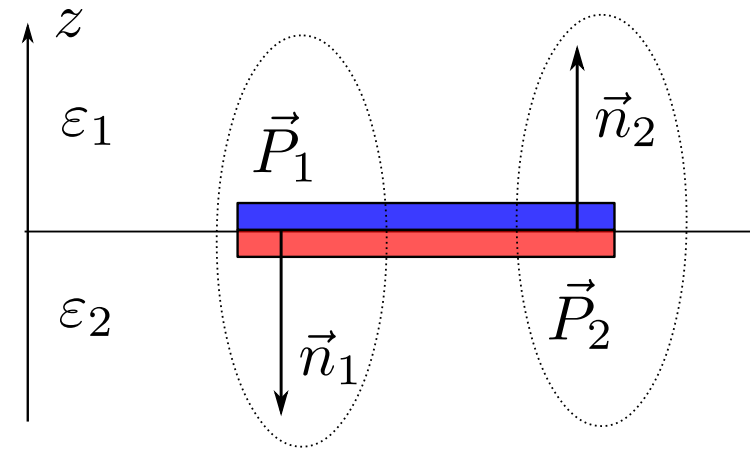
$$\begin{aligned} \sigma_{zw}^{(1)} &= \vec{P}^{(1)} \cdot \vec{n}_1 \\ \sigma_{zw}^{(2)} &= \vec{P}^{(2)} \cdot \vec{n}_2 \end{aligned} \quad \rightarrow \quad \sigma_{zw} = \sigma_{zw}^{(1)} + \sigma_{zw}^{(2)}$$



$$\sigma_{zw} = \sigma_{zw}^{(1)} + \sigma_{zw}^{(2)}$$

W kierunku normalnym do interfejsu niezerowa jest tylko składowa z-owa

$$\sigma_{zw} = \vec{P}^{(1)} \cdot \vec{n}_1 + \vec{P}^{(2)} \cdot \vec{n}_2 = \left(P_z^{(2)} - P_z^{(1)} \right) \hat{e}_z$$



$$P_z^{(1)} = \chi_e^{(1)} \varepsilon_0 E_z^{(1)}$$

$$\varepsilon_1 = 1 + \chi_e^{(1)}$$

$$P_z^{(1)} = -(\varepsilon^{(1)} - 1) \varepsilon_0 \frac{\partial \phi^{(1)}}{\partial z}$$

Po podstawieniu $\Phi^{(1)}$ i $\Phi^{(2)}$ otrzymamy wyrażenie opisujące rozkład ładunku polaryzacyjnego na interfejsie

$$\sigma_{zw} = (-1) \cdot \frac{q d}{2\pi \varepsilon_0 (\rho^2 + d^2)^{\frac{3}{2}}} \frac{(\varepsilon_2 - \varepsilon_1)}{\varepsilon_1 + \varepsilon_2}$$

Rozkład ładunku polaryzacyjnego

$$\sigma_{zw} = (-1) \cdot \frac{q d}{2\pi\epsilon_0 (\rho^2 + d^2)^{\frac{3}{2}}} \frac{(\epsilon_2 - \epsilon_1)}{\epsilon_1 + \epsilon_2}$$

wnioski:

- dla $\epsilon_2 \gg \epsilon_1$ otrzymujemy rozkład jak dla przewodnika (przewodnik $\epsilon \sim 1000$)
- jeśli ϵ_2 i ϵ_1 różnią się to znak ładunku polaryzacyjnego zależy od tego gdzie umieścimy ładunek q
 - a) dla $\epsilon_2 > \epsilon_1$ będzie ujemny
 - b) dla $\epsilon_2 < \epsilon_1$ będzie dodatni